

日本大学 正員 能町純雄
 日本大学 正員 木田哲量
 日本大学 正員 阿部忠
 日本大学 正員○澤野利章

1. 概 説 振動応答を解析する場合に振動によって生ずる応力、ひずみ、変位等を \sin 関数で近似することは一般的な手法である。また、振動応答解析に当たっては、ある種の力学モデルを設定して行うことができる。本研究では、弾性の力学モデルを非線形バネとした場合の振動応答に対して \sin 関数で近似させることの妥当性についての考察を行う。対象とする構造体は図-1に示すような底盤に対して堅固に固定された層体を考える。これに振動が強制された場合の層体自身の運動方程式は式(1)によって表すことができる。

$$\frac{\partial \tau}{\partial x} = \rho \frac{\partial^2 u}{\partial t^2} \quad (1)$$

また、弾性の力学モデルである非線形バネのひずみ γ と応力の関係を式(2)とする。

$$\tau = G \left(r - \frac{r^2}{3 \gamma_1^2} \right) \quad (2)$$

ここで、 ρ ; 層体の密度、

u ; 強制振動外力による層体の変位、

G ; 層体の初期せん断弾性係数、

r ; 層体に生ずるひずみ、 τ ; 層体のせん断応力

γ_1 ; 最大せん断応力に対する最大ひずみ

2. 解析方法 層体の一般的な変位とひずみの関係より $\tau = \partial u / \partial x$ の関係が成り立つ。また、変位 u は時間 t の関数であることから $u = U \sin \omega t$ とする。よって、ひずみ γ は次式で表すことができる。

$$\gamma = \frac{\partial U \sin \omega t}{\partial x} = \gamma_1 \eta \sin \omega t \quad \therefore \eta = \frac{\partial U / \partial x}{\gamma_1}$$

この関係を式(2)に代入すると、式(3)となる。また、この応力-ひずみ関係を式(1)に代入すると式(4)を得ることができる。

$$\tau = G \gamma_1 \left(\eta - \frac{\eta^2}{4} \right) \quad (3) \quad \frac{\partial}{\partial x} \left(\eta - \frac{\eta^2}{4} \right) = - \frac{\rho \omega^2}{G \gamma_1} U \quad (4)$$

ここで、 $U = \ell^2 \psi \gamma_1$, $\xi^2 = \omega^2 \rho \ell^2 / G$ とする。また、底面からの距離 x を q を係数として表すことでして $x = q \ell$ とすると、式(4)は次式となる。

$$\frac{\partial}{\partial q} \left(\eta - \frac{\eta^2}{4} \right) = - \xi^2 \psi \quad (5)$$

つまり、

$$\frac{\partial \psi}{\partial q} = \frac{\partial (U / \ell \gamma_1)}{\partial (x / \ell)} = \frac{\partial U}{\partial x \gamma_1} = \eta \quad (6)$$

の関係が成り立つ。次に式(5)に式(6)の関係を代入して、さらに η を乗することにする。

$$\frac{\partial \eta}{\partial q} - \frac{3}{4} \cdot \frac{\partial \eta}{\partial q} \eta^2 = - \xi^2 \psi$$

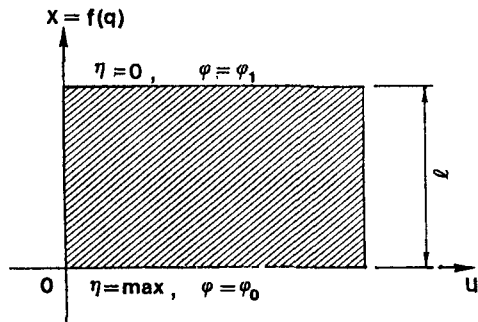


図-1 層体構造

$$\frac{\partial \eta}{\partial q} - \eta - \frac{3}{4} + \frac{\partial \eta}{\partial q} \eta^3 = -\xi^2 \psi \frac{\partial \psi}{\partial q} \quad (7)$$

上式 η を q によって積分することによってエネルギー式を得る。

$$\frac{1}{2} \eta^2 - \frac{3}{16} \eta^4 = -\frac{1}{2} \xi^2 \psi^2 + C \quad (8)$$

ここで積分定数 C は境界条件 $q = 1$ で $x = \ell$, つまり $\eta = 0$ より定まる。すなわち,

$$C = -\frac{1}{2} \xi^2 \psi_1^2$$

ここで, ψ_1 は表面における ψ の値

この関係を式 (8) に代入することによって η は次式で表される。

$$\eta = \left[-\frac{3}{4} \left\{ 1 \pm \left(1 - \frac{3}{2} \xi^2 (\psi_1^2 - \psi^2) \right)^{1/2} \right\}^{1/2} \right] \quad (9)$$

ここで再び境界条件を考える。すなわち, $\eta = 0$ を満足するときの $\psi_1 = \psi$ の場合は

$$\eta = \frac{\partial \psi}{\partial q} = \left[-\frac{3}{4} \left\{ 1 - \left(1 - \frac{3}{2} \xi^2 (\psi_1^2 - \psi^2) \right)^{1/2} \right\} \right]^{1/2} \quad (10)$$

となる。これより次式を得ることができる。

$$\psi_1 \xi \partial q = \left(\frac{1}{2} \right)^{1/2} \frac{\left(1 + (1 - A^2 \cos^2 \theta)^{1/2} \right)^{1/2}}{\cos \theta} \partial \psi \quad (11)$$

$$\text{ここで, } A = \frac{3}{2} \xi^2 \psi_1^2$$

したがって, ξ は次式によって表すことができる。

$$\xi = \frac{1}{2} \int_{\theta_0}^{\pi/2} \left\{ (1 + A \cos \theta)^{1/2} + (1 - A \cos \theta)^{1/2} \right\} \partial \theta \quad (12)$$

ここで, $\theta_0 = \sin^{-1}(m)$, $m = \psi_0 / \psi_1$, ψ_0 ; $q = 0$ の場合の ψ の値

$$\begin{aligned} \xi &= \left(\frac{\pi}{2} - \theta_0 \right) \left(1 - \sum_{n=1}^{\infty} \frac{(4n-3)!! A^{2n}}{2^n n! 2^{2n}} \cdot \frac{1}{2^{2n}} \left(\frac{2n}{n} \right) \right) \\ &\quad + \sum_{n=1}^{\infty} \frac{1}{2^{2n-1}} \cdot \frac{(4n-3)!! A^{2n}}{2^n n! 2^{2n}} \sum_{r=0}^{n-1} \left(\frac{2n}{r} \right) \frac{\sin^{2r} (n-r) \theta_0}{2(n-r)^2} \end{aligned} \quad (13)$$

3. 解析結果 式 (13) によって ξ を求めると変数 A と級数項が複雑になるため, 本解析では式 (12) に対して図式積分を行なって ξ を求め, この ξ , A , θ_0 の関係より加速度 α は

$$\alpha = A \xi / (3/2)^{1/2} \quad (14)$$

によって算出し, 入力 P は

$$P = A \xi m / (3/2)^{1/2} \quad (15)$$

によって算出して図-2 に示した。図中の破線が本解析によって得られた加速度パラメータであり, また実線は \sin 関数によって変位を仮定した場合の加速度パラメータである。また, 入力 P は中心から外側に向かって 0, 0.05, 0.10, 0.15, 0.20 としている。

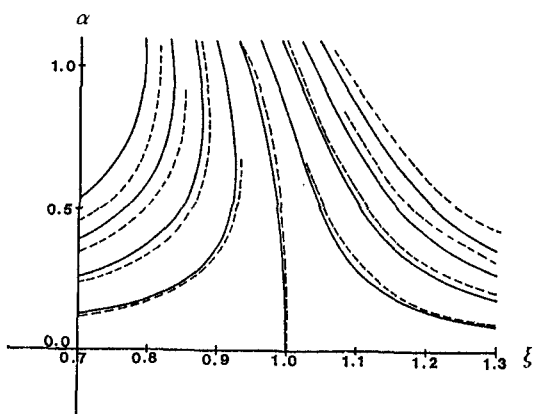


図-2 解析結果